TGF-β1、MMP-9 在哮喘大鼠气道重建模型中的 表达及丹参的干预作用

陈 静 赵文娟 李玉卿 夏永辉 袁嘉丽 (云南中医学院,昆明,650500)

关键词 哮喘:气道重建:TGF-β1:MMP-9:丹参

Expression of TGF-β1 MMP-9 in airway remodeling in Asthma Rats Model and Effects of Salvia Miltiorrhiza

Chen Jing, Zhao Wenjuan, Li Yuqing, Xia Yonghui, Yuan Jiali

(Yunnan University of TCM, Kunming 650500, China)

Abstract Objective: To observe the dynamic changes of TGF- β 1 and MMP-9 in the airway remodeling of asthma rat model and explore the mechanism of salvia miltiorrhiza (Danshen) in intervening airway remodeling. Methods: Seventy healthy adult male rats were randomly divided into the normal control group, asthma model group (subdivided into two-week asthmatic group, four-week asthmatic group and eight-week asthmatic group) and salvia miltiorrhiza group (subdivided into two-week salvia miltiorrhiza group, four-week salvia miltiorrhiza group, and eight-week salvia miltiorrhiza group) with a total of seven groups with 10 rats in each. Asthmatic airway remodeling rats model was established with ovalbumin and Al(OH)3, and rats were observed 2, 4 and 8 weeks after induced model respectively. The pathological changes of the lung tissue were observed. The level of TGF- β 1 and MMP-9 in lung tissue was detected by ELISA. Results: Airway inflammatory cells infiltrated in airway tissue and the thickness of bronchial smooth muscle increased. With the prolongation of the stimulating time, TGF- β 1 and MMP-9 level increased gradually in the asthma model group. Compared with the normal control group, there were significant differences (P < 0.05, P < 0.001) in the four-week asthmatic group and eight-week asthmatic group. After salvia miltiorrhiza was applied, the TGF- β 1 and MMP-9 level decreased. Compared with the eight-week asthmatic group, there were significant differences (P < 0.001) in the eight-week salvia miltiorrhiza group. Conclusion: The changes of airway remodeling in asthma are dynamic process and TGF- β 1 and MMP-9 may intervene in the changes of airway remodeling process. Salvia miltiorrhiza improve the state of airway remodeling in asthmatic rats by inhibiting the level of TGF- β 1 and MMP-9.

Key Words Asthma; Airway remodeling; TGF-β1; MMP-9; Salvia miltiorrhiza 中图分类号: R285. 5 文献标识码: A doi:10.3969/j. issn. 1673 - 7202.2016.03.029

支气管哮喘(哮喘)是由多种细胞和细胞组分参与的气道慢性炎性反应性疾病^[1]。气道重建是哮喘的一大重要病理学特征,其本质就是气道纤维化和胶原沉积。气道重建可加重气道高反应性,导致

肺功能持续性与进行性损害,从而增加了临床上支气管哮喘的难治性^[2]。有效改善气道重建成为哮喘防治的新方向。TGF-β1 是迄今已知最强的致纤维化因子之一,也是导致哮喘气道重建的主要调控因

基金项目:云南省教育厅重大专项项目(编号:ZD2013010);云南省教育厅科学研究基金项目(编号:2013Y241);云南省高校中医药调节机体微环境应用基础研究科技创新团队项目

作者简介:陈静(1978.08—),女,硕士,讲师,形态学实验室主任,研究方向:中西医结合基础免疫学,E-mail:sunnychenj@163.com通信作者:袁嘉丽(1963.03—),女,博士,教授,研究生处处长,研究方向:中西医结合基础免疫学,E-mail:yjl6688767@sina.com

子[3]。MMP-9 是降解细胞外基质的主要成分,在生 理和病理情况下有利于组织重构[45]。中医学认为 气道纤维化虽有多种病机,但大多数医家都认同在 不同证型的纤维化中瘀血都成为了重要病理产物。 因此,活血化瘀是治疗器官纤维化的大法[6]。本实验 通过组织病理分析和 ELISA 法检测哮喘气道重建不 同阶段的病理特征及在气道重建的不同阶段给予丹 参干预后的大鼠气道 TGF-β1、MMP-9 的动态变化。

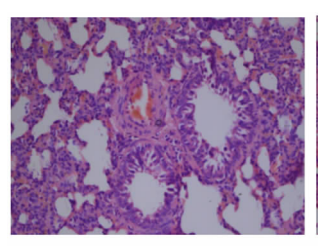
材料与方法

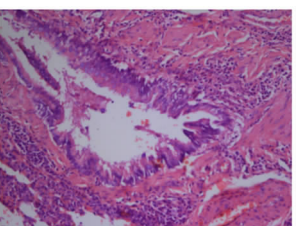
- 1.1 实验动物 SPF级SD雄性大鼠70只,4~6周 龄,体重(180 ± 20) g(购自四川省医学科学院实验 动物研究所,许可证编号: SCXK(川) 2013-24, 合格 证号0018160)。
- 1.2 试剂及仪器 鸡卵清蛋白(OVA)、氢氧化铝凝 胶(Sigma 公司,美国);大鼠 TGF-β1ELISA 试剂盒; 大鼠 MMP-9 ELISA 试剂盒(苏州卡尔文生物科技有 限公司);酶标仪(美国分子仪器公司);压缩雾化器 (Pari Turboboy, 德国);台式高速离心机(BECKMAN 公司,美国);自备有机玻璃雾化箱(45 cm × 35 cm × 20 cm)_o
- 1.3 实验药物 丹参,购于昆明福林堂药业有限公 司,以水煎法进行药液浓缩,每毫升药液含生药1g, 根据成人(60 kg)临床一日用药量换算出大鼠(200 g)等效用药量,以上剂量均根据动物体表面积等效 剂量换算。

1.4 实验方法

- 1.4.1 模型制备及分组 SD 雄性大鼠 70 只, 随机 分为7组,每组10只,第1天和第14天腹腔注射 OVA-氢氧化铝混悬液 2 mL 致敏(OVA1 mg, 氢氧化 铝100 mg,加生理盐水至2 mL),于实验第21 天起 将大鼠置于密闭容器内, 予 2% OVA 生理盐水雾化 激发,30 min/次,隔天 1 次。正常对照组用生理盐 水代替 OVA 致敏和激发[7]。实验中观察大鼠反应, 出现烦躁不安、呼吸急促深快、腹肌抽搐、烦躁呛咳 及点头运动等症状表明建立哮喘模型成功[8]。实验 动物随机分成正常对照组、哮喘模型组(分为哮喘2 周组、哮喘4周组、哮喘8周组)、丹参干预组(分为 丹参2周组、丹参4周组、丹参8周组)共计3大组, 7 个小组。
- 1.4.2 制备组织病理切片 各组大鼠末次激发后 24 h,打开胸腔取下左肺组织,中性甲醛固定,石蜡 包埋后切片,HE 染色光学显微镜下观察细支气管、 血管及肺泡的病理改变。
- 1.4.3 指标检测 采用酶联免疫吸附试验法

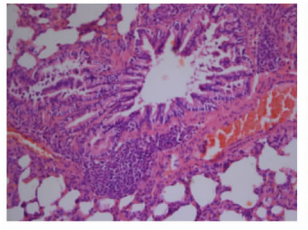
(ELISA)检测各组大鼠肺组织匀浆上清液 TGF-β1、 MMP-9 含量。参照试剂盒说明书进行,通过标准品 吸光度(A)值绘制标准曲线,然后计算各样本的值。 1.5 数据收集和统计学处理 实验数据采用 SPSS 软件16.0进行统计分析处理,结果以均数 ±标准差 $(\bar{x} \pm s)$ 表示。各组数据服从正态分布,方差齐;方差 分析 P < 0.001,组间有差异,采用 LSD 法检验,进行 多组间均数的多重比较。





正常对照组(HE×200)

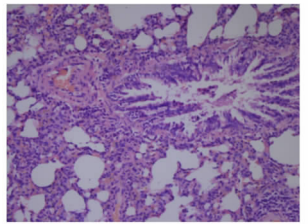
图 2 哮喘 2 周组(HE×200)





哮喘 4 周组(HE×200)

图 4 哮喘 8 周组(HE×200)



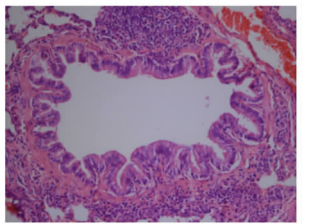
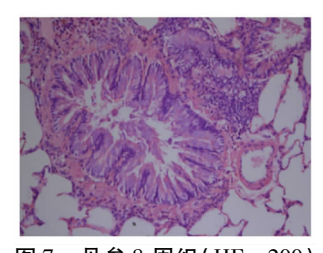


图 5 丹参 2 周组(HE×200) 图 6 丹参 4 周组(HE×200)



丹参8周组(HE×200)

2 结果

2.1 组织病理学改变 正常对照组:气道周围无炎 性细胞浸润,支气管管腔规则,气道黏膜上皮及肺泡 结构完整,肺泡间隔窄,气道平滑肌薄,肺泡腔透亮, 无上皮脱落损伤,黏膜无水肿。(图1)。哮喘模型 组:2 周组支气管可见黏液栓,气道有损伤,肺泡间 隔不同程度增宽,部分断裂,气管与血管周围有炎性 细胞浸润(图2);4周组可见杯状细胞增生,基底膜 增厚,肺泡间隔不同程度增宽,轻度充血水肿,气管 周围炎性细胞浸润(图3);8周组大量密集炎性细胞 浸润,可见黏液栓,肺泡融合、不同程度断裂,平滑肌增生(图4)。丹参干预组:2周组大鼠支气管壁周围有少量炎性细胞浸润,气道平滑肌增厚不明显,伴黏液分泌,基底膜稍增厚(图5);4周组增生细胞减少,肺泡大小相似,充血、水肿减轻,少量炎性细胞浸润(图6);8周组支气管管壁趋于正常,上皮结构较完整,管壁未见增厚,浸润的炎性细胞减少,无明显炎性渗出(图7)。

2.2 大鼠肺组织匀浆 TGF-β1 及 MMP-9 含量测定检测结果显示,哮喘 4 周组、哮喘 8 周组肺组织 TGF-β1 及 MMP-9 与正常对照组比较均有显著升高 (P < 0.05),其中哮喘 8 周组升高最明显 (P < 0.001);随着激发时间的延长,哮喘 8 周组 TGF-β1 及 MMP-9 含量显著高于哮喘 2 周组、哮喘 4 周组 (P < 0.05);使用丹参干预后,丹参 2 周组、丹参 4 周组 肺组织 TGF-β1 及 MMP-9 含量较对应时间的哮喘组有所降低,但差异统计学意义 (P > 0.05),丹参 8 周组肺组织 TGF-β1 及 MMP-9 含量与哮喘 8 周组比较显著降低 (P < 0.001)。

表 1 各组大鼠肺组织匀浆 TGF-β1 及 MMP-9 含量($\bar{x} \pm s$)

组别	鼠数	TGF- β 1 (ng/mL)	MMP-9(ng/mL)
正常对照组	10	1. 05 ± 0. 25	1. 99 ± 0. 29
哮喘2周组	9	1. 41 \pm 0. 47 $^{\triangle}$	2.29 ± 0.51
哮喘 4 周组	7	1. 45. 9 \pm 0. 32 $^{\triangle}$	2. 43 \pm 0. 40 $^{\triangle}$
哮喘 8 周组	7	1. 99 ± 0. 18 □ ♦ \$	3. 01 ± 0. 31 □♦☆
丹参2周组	8	1. 31 ± 0. 36 ▲	1. 93 ± 0. 30 ▲
丹参4周组	7	1. 33 ± 0. 19■	2. 06 ± 0.49
丹参8周组	7	1. 37 ± 0. 30 ◆	2. 10 ± 0.20
F		5. 394	7. 037
<i>P</i>		< 0.001	< 0.001

注: △与正常对照组比较, P < 0.05; □与正常对照组比较, P < 0.001; ◇与哮喘 2 周组比较, P < 0.05; [★]与哮喘 4 周组比较, P < 0.05; [★]与哮喘 4 周组比较, P > 0.05; [■]与哮喘 4 周组比较, P > 0.05; [◆]与哮喘 8 周组比较, P < 0.05; [★]与哮喘 8 周组比较, P < 0.05; [★]与哮喘 8 周组比较, P < 0.001。

3 讨论

气道重塑是哮喘的重要病理特征,是哮喘发展到一定阶段气道出现的不可逆改变,也是哮喘难治的重要原因。目前,哮喘治疗主要是控制症状、抗炎、免疫疗法,从改善气道重建的角度进行哮喘治疗的药物很少,作用也不理想,因此,从气道重建的调控因子人手,用药物控制细胞因子的含量从而干预气道重建,是治疗难治性哮喘的一个新思路。

TGF-β 是哮喘气道重建的主要调控因子,其中以 TGF-β1 活性最强,作为促纤维化的关键因子, TGF-β1 促进平滑肌细胞和杯状细胞肥大增生,增加

胶原和纤连蛋白合成并促进气道胶原沉积和基底膜增厚,促进结缔组织蛋白合成从而导致官腔狭窄和和不可逆的肺功能改变^[9-10]。MMP-9 是特异性降解ECM 的锌依赖性蛋白酶家族,作为与哮喘气道重塑关系最为密切的基质金属蛋白酶,MMP-9 主要负责降解ECM,哮喘状态下,MMP-9 的过度表达不仅能导致ECM 结构重建,而且还能诱导嗜酸粒细胞迁移并影响气道平滑肌细胞增殖与迁移,进而诱发哮喘气道重建^[11-12]。因此,抑制 TGF-β1 和 MMP-9 表达可减轻哮喘气道重建^[13-14]。

哮喘在中医属"哮病"范畴,传统上认为,宿痰 伏肺是哮喘的夙根,但现代中医从痰的产生机制和 临床实践分析,认为痰瘀密切相关,相互影响。各种 原因导致血停成瘀,津聚为痰,产生瘀血、痰浊等病 理产物,痰浊、瘀血有形之邪阻滞肺络,搜逐不易,致 肺管狭窄,使无形之气不能宣降,痰瘀互结,气道狭 窄,更致津血运行受碍,使病情迁延,缠绵难愈^[15-16]。 曹世宏认为,肺燥阴伤和肺气虚冷是哮喘的主要病 机,但两者均可导致瘀血,瘀血一旦形成又可影响气 机的宣畅,阴津阳气难以布达,使肺纤维化形成加 重。因此,活血化瘀是治疗器官纤维化的重要方法。

本研究在深入探讨哮喘气道重建中医病因病机 的基础上,利用中药多靶点、多调控涂径的特点和优 势,选择活血化瘀药丹参对哮喘气道重建进行干预。 药理作用研究表明丹参可活血化瘀,对抗氧自由基, 改善微循环[17],有利于及时清除气道上的炎性因子 及免疫复合物;同时丹参可抑制成纤维细胞增殖或 诱导成纤维细胞凋亡,减少胶原合成和分泌的作用。 本研究检测哮喘气道重建不同阶段的病理特征及在 气道重建的不同阶段给予丹参干预后的大鼠肺组织 TGF-β1、MMP-9 的动态变化。实验结果提示,随着 激发时间延长和哮喘发作次数的增加,炎性反应反 复刺激,肺组织 TGF-β1、MMP-9 的分泌逐渐升高,大 鼠肺组织病理变化趋于严重,气道重建越明显;经丹 参干预后,肺组织 TGF-β1、MMP-9 随着干预时间的 延长逐渐下降;大鼠肺组织炎性细胞浸润减少,支气 管管壁和平滑肌增生程度减轻,气道重建逐渐改善; 这表明 TGF-β1、MMP-9 是哮喘气道重建的重要调控 因子,监测 TGF-β1、MMP-9 的表达可帮助我们了解 气道重建的发生时间及发展程度;另一方面,活血化 瘀药丹参干预或阻断哮喘气道重建的机制可能是通 过抑制 TGF-β1、MMP-9 表达而实现的。

参考文献

[1]栗丽丽,师强华,梁淑芬. 支气管哮喘发病机制的研究进展[J].

- 中医临床研究,2014,6(36):27-29.
- [2] Makinde T, Murphy RF, AgrawalDK. The regulatory role of TGF-beta in airway remodeling in asthma[J]. Immunol Cell Biol, 2007, 85(5): 348-356.
- [3] Kenyon N J, Ward R W, McGrew, et al. TGF-betal causes airway fibrosis and increased collagen I and III mRNA in mice [J]. Thorax, 2003,58(9):772-777.
- [4] Watson AM, Benton AS, Rose MC, Freishtat RJ. Cigarette smoke alters tissue inhibitor of metalloproteinase 1 and matrix metalloproteinase 9 levels in the basolateral secretions of human asthmatic bronchial epithelium in vitro[J]. J Investig Med, 2010, 58(5):725-729.
- [5] Mehra D, Sternberg DI, et al. Altered lymphocyte trafficking and diminished airway reactivity in transgenic mice expressing human MMP-9 in a mouse model of asthma[J]. Am J Physiol Lung Cell Mol Physiol, 2010, 298 (2):189-196.
- [6]牛建昭, 贲长恩. 器官纤维化基础及中医药防治[M]. 北京: 人民卫生出版社, 2008:11.
- [7] 赵文娟, 韩妮萍. 生三七粉调节哮喘小鼠气道炎症及 Th 亚群相关细胞因子的实验研究 [J]. 世界中西医结合杂志, 2014, 9(12): 1296-1299.
- [8] Eynott P R, Nath P, Leung S Y, et al. Allergen-induced inflammuition and airway epithelial and smooth muscle cell proliferation; role of Jun N-terminal kinase [J]. Br J Pharmmeol, 2003, 140(8):1373-1380.
- [9] Donnell MP. Renal tubulointerstisial fibrosis new thoughts on its development and progression [J]. Postgrad Med, 2010, 122 (4): 208-

- 219
- [10] Itoigawa Y, Harada N, Harada S, et al. TWEAK enhances TGF-β-induced epithelial-mesenchymal transition in human bronchial epithelial cells[J]. Respir Res, 2015, 16:48.
- [11] Piirila P, LauhioA, Majuri MI, et al. Matrix metalloproteinases-7, -8, -9 and TIMP-1 in the follow-up of diisocyanate-induced asthma[J]. Allergy, 2010, 65:61-68.
- [12] Ma HP, Li W, Liu XM. Matrix metalloproteinase 9 is involved in airway inflammation in cough variant asthma[J]. Exp Ther Med, 2014, 8(4):1197-1200.
- [13] 彭光耀,刘鑫,黄艳,等. TGF_1_Smads 通路在哮喘大鼠气道重塑模型中的动态变化[J]. 广东医学,2010,31(5):557-560.
- [14] McMillan SJ, Xanthou G, Lloyd CM. Manipulation of allelgen-in-duced airway remodeling by treatment with anti-TGF-beta antibody: effect on the smad signaling pathway[J]. J Immunol, 2005, 174(9): 5774-5780.
- [15] 田金娜,李建保. 丹龙定喘汤对哮喘小鼠气道重塑及血清 TGFβ1 的影响研究[J]. 四川中医,2012,30(4):17-19.
- [16] 陈昕芳. 活血化瘀法治疗哮喘发作期研究[J]. 长春中医药大学学报,2013,29(2):236-237.
- [17] 陈媛媛, 郭芳, 王文军, 等. 丹参联合川芎嗪对肺纤维化大鼠肺组织 JAKI、STATI、ICAM-1 表达的影响[J]. 泸州医学院学报, 2012, 35(1):6-13.

(2015-06-30 收稿 责任编辑:王明)

(上接第478页)

- [2]于敏,张双庆,闻镍. 细胞色素 P450 酶系体外药物代谢研究方法 进展[J]. 中国药事,2013,27(1):81-87.
- [3] Kamel A, Harriman S. Inhibition of cytochrome P450 enzymes and biochemical aspects of mechanism-based inactivation (MBI) [J]. Drug Discov Today Technol, 2013, 10(1):177-189.
- [4] Zanger UM, Schwab M. Cytochrome P450 enzymes in drug metabolism: regulation of gene expression, enzyme activities, and impact of genetic variation [J]. Pharmacol Ther, 2013, 138(1):103-141.
- [5] Faber MS, Jetter A, Fuhr U. Assessment of CYP1A2 activity in clinical practice; why, how, and when? [J]. Basic Clin Pharmacol Toxicol, 2005, 97(3):125-134.
- [6] Martignoni ML, Groothuis GM, Kanter R. Species differences between mouse, rat, dog, monkey and human CYP-mediated drug metabolism, inhibition and induction [J]. Expert Opin Drug Metab Toxicol, 2006, 2(6):875-894.
- [7] 张晓璐, 乐江. 细胞色素 P450 的工具药选择及种属差异的研究 进展[J]. 中国药理学与毒理学杂志, 2012, 26(5):697-701.
- [8]国家药典委员会. 中华人民共和国药典[S]. 一部. 北京: 中国医药科技出版社,2015;177.
- [9] 罗文,刘斌,王伟,等. 何首乌药材 HPLC 指纹图谱研究[J]. 北京中医药大学学报,2008,30(8):557-560.
- [10] Liang ZT, Chen HB, Yu ZL, et al. Comparison of raw and processed Radix Polygoni Multiflori (Heshouwu) by high performance liquid chromatography and mass spectrometry [J]. Chin Med, 2010, 5 (29):1-9.

- [11] 杨芳. 人和鼠肝微粒体药物代谢检测平台的建立及初步应用研究[D]. 西安: 西北大学, 2008.
- [12]张艳辉,于超,郭延垒,等. 高效液相色谱法测定鼠肝微粒体中 CYPI A2 酶的活性及动力学考察[J]. 药物分析杂志,2012,32 (2):189-193.
- [13] 韦灵玉,张玉杰,魏宝红,等. 黄连黄芩及配伍诱导对大鼠肝微粒体5种 CYP450亚酶活性的影响[J]. 中国中药杂志,2013,38(9):1426-1429.
- [14] 李浩,杨红莉,李登科,等. 何首乌水提物对大鼠肝脏 CYP1A2, CYP2E1 酶活性及 mRNA 表达抑制作用研究[J]. 中国中药杂志,2015,40(7);1370-1375.
- [15] Zhou SF, Wang B, Yang LP, et al. Structure, function, regulation and polymorphism and the clinical significance of human cytochrome P450 1A2[J]. Drug Metab Rev, 2010, 42(2):268-354.
- [16] Nishimura Y, Kurata N, Sakurai E, et al. Inhibitory effect of antituberculosis drugs on human cytochrome P450-mediated activities [J]. J Pharmacol Sci, 2004, 96(3):293-300.
- [17]孙震晓,张力.何首乌及其制剂相关肝损害国内文献回顾与分析[J]. 药物不良反应杂志,2010,12(1):26-30.
- [18] 张思玉,朱晓光,张广平,等. 制首乌提取液毒理学研究[J]. 毒理学杂志,2013,27(4);261-264.
- [19] 李晓菲,李娜,涂灿,等. 基于内毒素特异质模型的生首乌与制 首乌肝毒性比较研究[J]. 中草药,2015,46(10):1481-1486.
- [20] Ma KF, Zhang XG, Jia HY. CYP1A2 polymorphism in Chinese patients with acute liver injury induced by *Polygonum multiflorum*[J]. Genet Mol Res, 2014, 13(3):5637-5643.

(2015-06-19 收稿 责任编辑:张文婷)